

大阪洪積粘土の圧密特性について

京都大学防災研究所 正員 石井義明

まえがき 大阪周辺の洪積層の土質調査などの結果をみると、先行圧密荷重 P_c は現在の推定有効上載荷 P より大きな値を示し、ゆえに過圧密状態にあることを示している。

$P_c > P$ となる理由としてはセメントイシヨンなども考えられるが、圧密試験条件例では荷重増加比% (ϵ) 各荷重段階における增加荷重) や、各荷重段階にあり荷重載荷時間によっても影響されることが Leonards や Crawford らにより明らかにされている。本文では大阪東淀川区で採取した洪積層粘土試料について種々の載荷条件のもとで行った圧密試験の結果と、すでに公表された研究結果との比較を行なう。

試 料 試料は地表面下 36~150m の範囲から採取した不搅乱試料を主に用いたが一部に練り返し再圧密した粘土を用いた。用いた試料の物性は液性限界 $w_L = 38\%$ ~ 110% 塑性指数 $I_P = 7$ 、比重 2.68 ~ 2.68 の範囲にあり 10 種の試料である。

3 実験結果と考察 (a) 荷重増加比% が先行圧密荷重 P_c におよぼす影響について

同一試料から取り出した 3 個の供試体について各荷重段階における載荷時間と 24 時間、 ϵ がそれぞれ $1.0, 0.5, 0.1$ について圧密実験を行なった。例を示せば図-1 のようになる。図において処女圧密曲線は折れ曲げてある。そこで最初の直線領域と延長 L Casagrande による手法を用いて P_c を求めた。また圧密比 e は全部同一スケールで整理した。

図では $\epsilon=0.1$ の場合 $P_c=12.4\%$ 、 $\epsilon=1.0$ すなわち標準圧密試験による P_c は 10.8% であり、それが小さきものほど大きな P_c を得ている。これは他種の粘土についても、また練り返し再圧密試料についても同様な傾向を得た。これら Leonards らが得た結果と同一傾向である。

(b) 荷重載荷時間の影響について 同一試料から取り出した 3 個の供試体とそれぞれ $\epsilon=1.0$ 一定、荷重載荷時間と 24 時間、72 時間、168 時間の 3 種として載荷時間の影響と調べた。(a) の実験と同一試料を用い得られた結果が図-2 である。図より載荷時間が長くなるほど得られる P_c が小さくなることを認められる。すなわち 24 時間の標準圧密試験法で得られる $P_c=10.8\%$ に対し載荷時間の長い 168 時間の場合 $P_c=9.7\%$ となつてある。これらの値の差がわずかであるので同様な傾向が他種の不搅乱試料についてもみられるかどうかとみるため調べたが同様な傾向であった。練り返し再圧密した試料に 10% の先行圧力を与えた後、一旦除荷後 $\epsilon=0.5$ で載荷時間とそれぞれ 24 時間、72 時間の条件で 2 個の試料について調べた結果は図-3 である。これによれば図-2 に示した不搅乱試料の場合とは逆の傾向を得、載荷時間が 24 時間の場合には $P_c=9.2\%$ であるが、72 時間の場合には $P_c=9.9\%$ となり載荷時間が長いものはほど P_c は大きな値を示した。これらは不搅乱試料は粒子間にセメントイシヨン的結合と有し、結晶化構造を有する

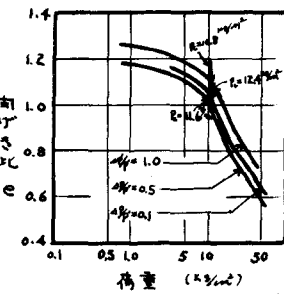


図-1

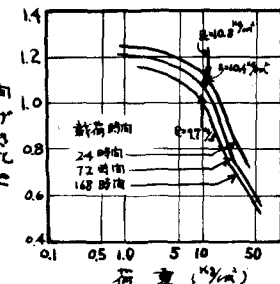


図-2

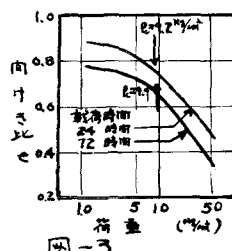


図-3

場合が多く、圧密時間が長くなると構造の破壊が進行しセメントインシヨニ的な結合が破壊される。このため圧密により間隔が減少し骨格の強度の増加に比してセメントインシヨニ的結合力の減少が大きくなり一方練り返し再圧密試験料のセメントインシヨニ的結合力はほとんど有しないため、圧密により間隔が減少し骨格の強度が増加したものと考えられる。

(C) 荷の変化とともに沈下曲線の変化について

圧密の所要時間は $t = (V_0)H^2 T$ (V_0 : 圧密係数, H : 排水距離, T : 時間係数) により表わされ、これは荷重や率によりあまり変化がないといわれていい。しかし(A)で示した結果の時間沈下曲線の一例を末尾に図-4のようにならべた場合、 $\gamma=0.1$ の場合 4000 分を過後も一次圧密が終了していない。同一試験から取り出した供試体について $\gamma=0.5, 1.0$ などについて 24 時間以内に一次圧密と二次圧密の領域が生じた。これらは試験と圧密時間の摩擦の影響。供試体が圧密リングにこう束こいされたための影響と考えられるので、三軸試験機を用いて荷重載荷時間は 24 時間一定として、第 1 つめの供試体ごとに変え等方圧密試験を行なった。三軸装置の載荷能力の関係上、練り返し再圧密した供試体を用い、得られた結果が図-5 である。図において $\gamma=1.0, 0.5$ の場合は一次、二次圧密領域が明確に表わされているが、 $\gamma=0.1$ ($P=5.0 \text{ kg/cm}^2$ の曲線) については $500^{\text{分}}$ 後もまだ一次圧密が終了していない。これより等方圧密を行なった場合も圧密所要時間が荷の影響を受けることがわかる。

これから圧密所要時間の遅れが時間沈下曲線についてのみ生ずるものか、間隔と水圧との消散もこれらに付随して生じるものかを知るため三軸試験機に供試体を水中セットし、供試体軸 (CC) ($\gamma=1.5$) にロ紙を巻き側面排水を行なうとともに供試体上端面中心部での測定を行なった。この場合上が供試体全体に等しく分布するよう各荷重段階で側圧を増加後、24 時間後に圧密を開始した方法とした。得られた体積変化時間、間隔と水圧消散の関係と一つの図にまとめたものが図-6 である。図では $\gamma=0.5$ 荷重載荷時間 500 分の条件で行なった結果である。初期荷重段階では二次圧密領域が 24 時間以内に表わされているが、以後の荷重段階では一次圧密終了時間が遅れていく。一方で体積変化・消散曲線の挙動とよく対応している。すなはち $\gamma=0.5$ による圧密所要時間の影響はいつまでも荷が小さくなると消散時間が遅れるといえる。この実験において荷が小さく得られる限界水压が値を得たが、これより荷が小さくなるとその消散が遅れ(理由不明)、供試体中に水が残留してい状態で次の荷重が増加されたため上載圧の一部はひいて支えられて大きな变形を生すとも考えられる。これについてはデータが少ないので今後さらに実験をして考察したい。

終りに実験ならびに本文作成にあたり終始適切な御指導と御助言をいただいた京都大学防災研究所村山耕郎教授ならびに八木則男助教授に心からお礼申し上げます。

参考文献 1) 村山耕郎・八木則男: 九州地区的土壤等の物理調査報告(次回), 1970. 2) G.A. Leonard and M. Schaeffl: Compressibility of Clay, Proc. A.S.C.E. 90-5M 5/28. 3) Crawford C.B.: Interpretation of the Consolidation Test, Proc. A.S.C.E. 90-5M 5/28-87 1964.

